Einführung in die Radioastronomie Wintersemester 2025/26 Prof. Katharina Schreyer Dr. Alexander Drabent Prof. Matthias Hoeft Credit: SARAO; NRAO/AUI/NSF





Themen der Vorlesung

Aufbau und Eigenschaften von Radioteleskopen

Die Primärantenne das Empfängersystem und Datenverarbeitung Interferometer

Quellen von Radiostrahlung und deren Eigenschaften

Thermische Emission: Kosmischer Mikrowellenhintergrund, Staub

Bremsstrahlung: Sonne, HII-Regionen

21-cm Emission: neutraler Wasserstoff,

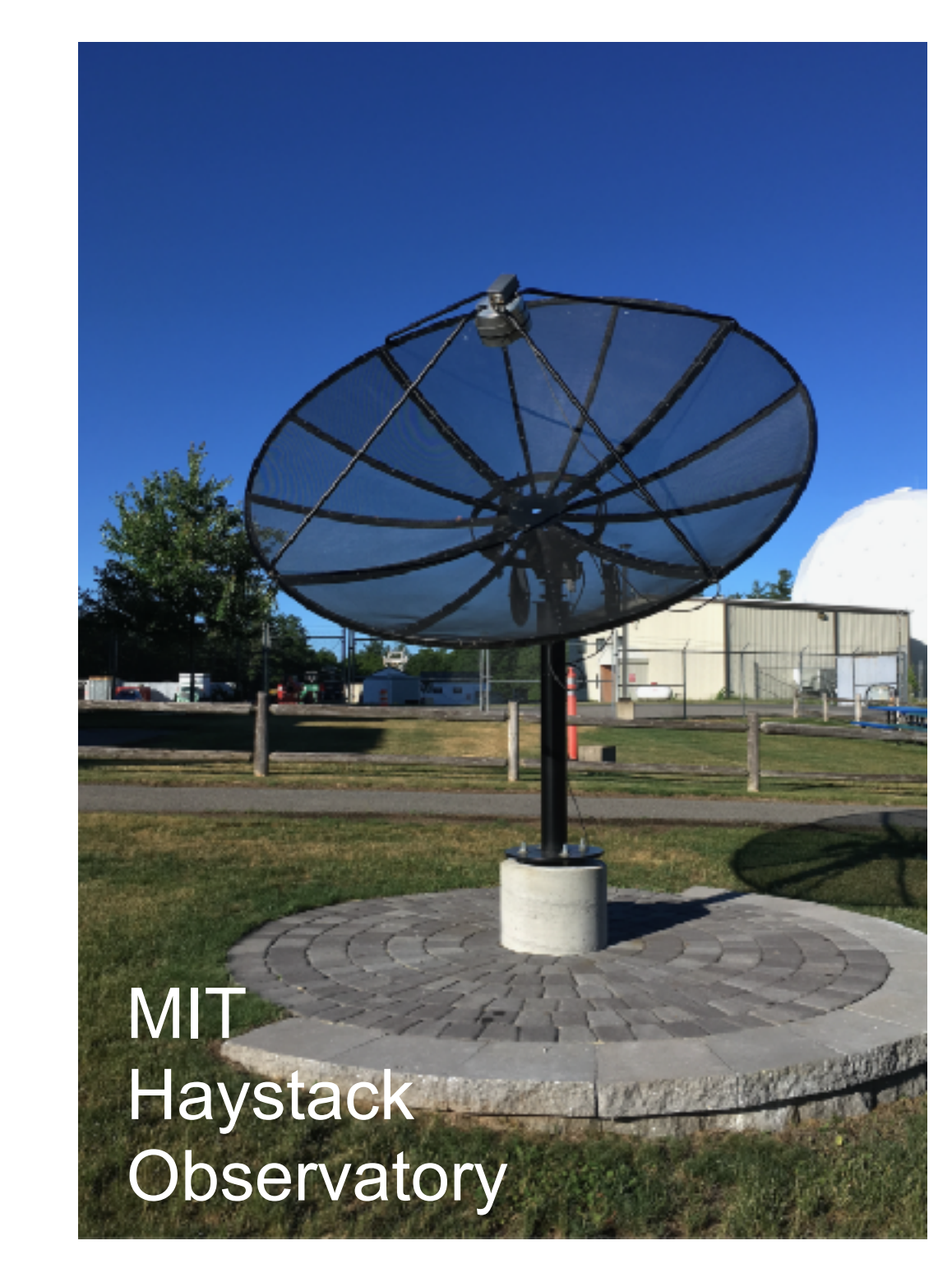
Synchrotronstrahlung: Radiogalaxien und Aktive Galaxien

Polarisation: Informationen über das Magnetfeld

Plasmastrahlung: Ausbrüche der Sonne

Zeitveränderliche: Pulsare und Fast Radio Bursts

Besuch LOFAR Feld Tautenburg?





Heute:

Formales zur Vorlesung

kurze Übersicht Radioquellen und Teleskope

Intensität und Fluss

Übung:

Vorführung Small Radioteleskop

Organisatorisches

Vorlesung

Freitag 14:15 - 15:45 Seminarraum Sternwarte Schillergässchen

Übung

??

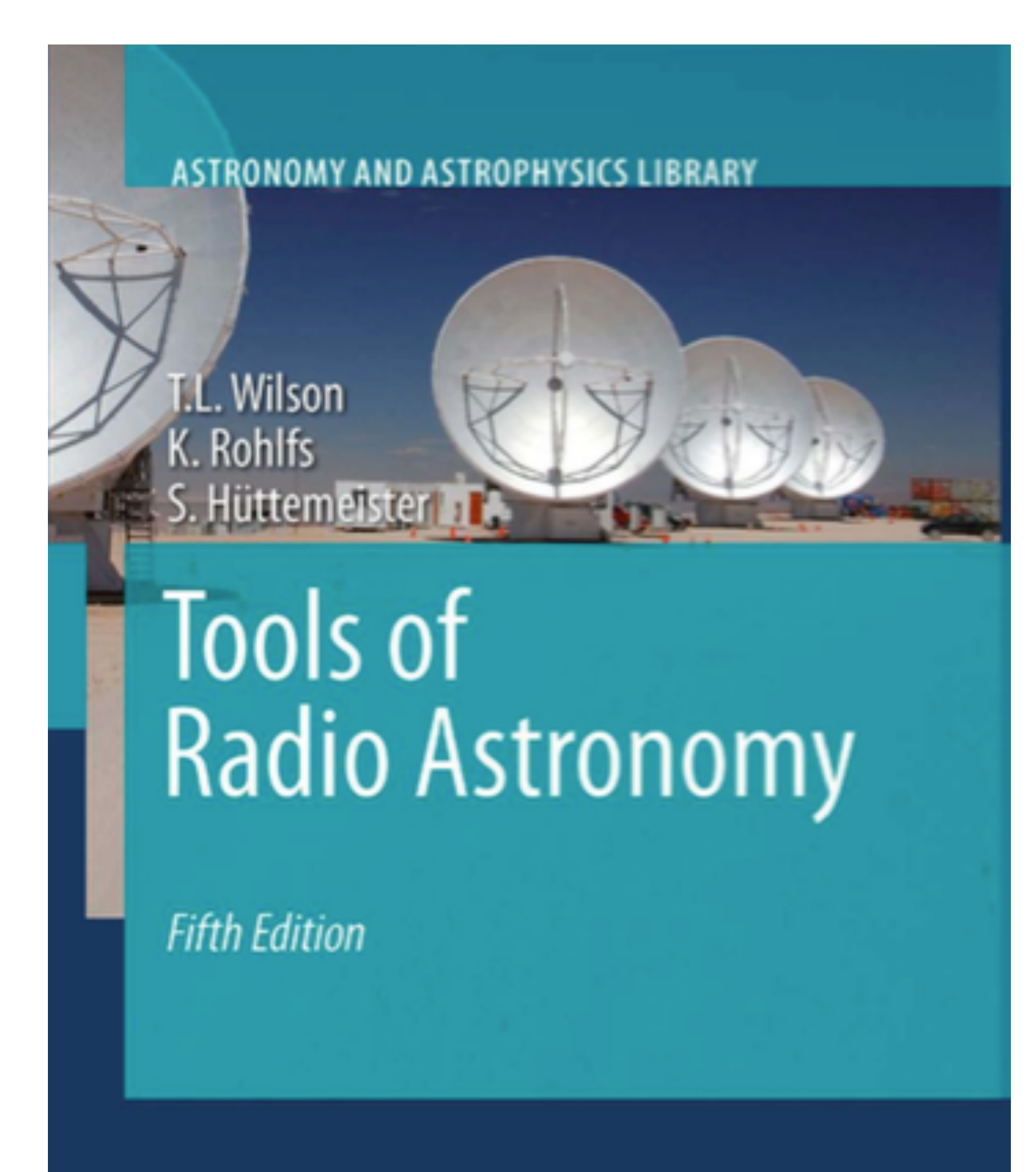
Präsentationen der Aufgaben durch Studenten Übungen

Klausur

Mindestens 50% der Übungsaufgaben erfolgreich bearbeitet

Leistungspunkte

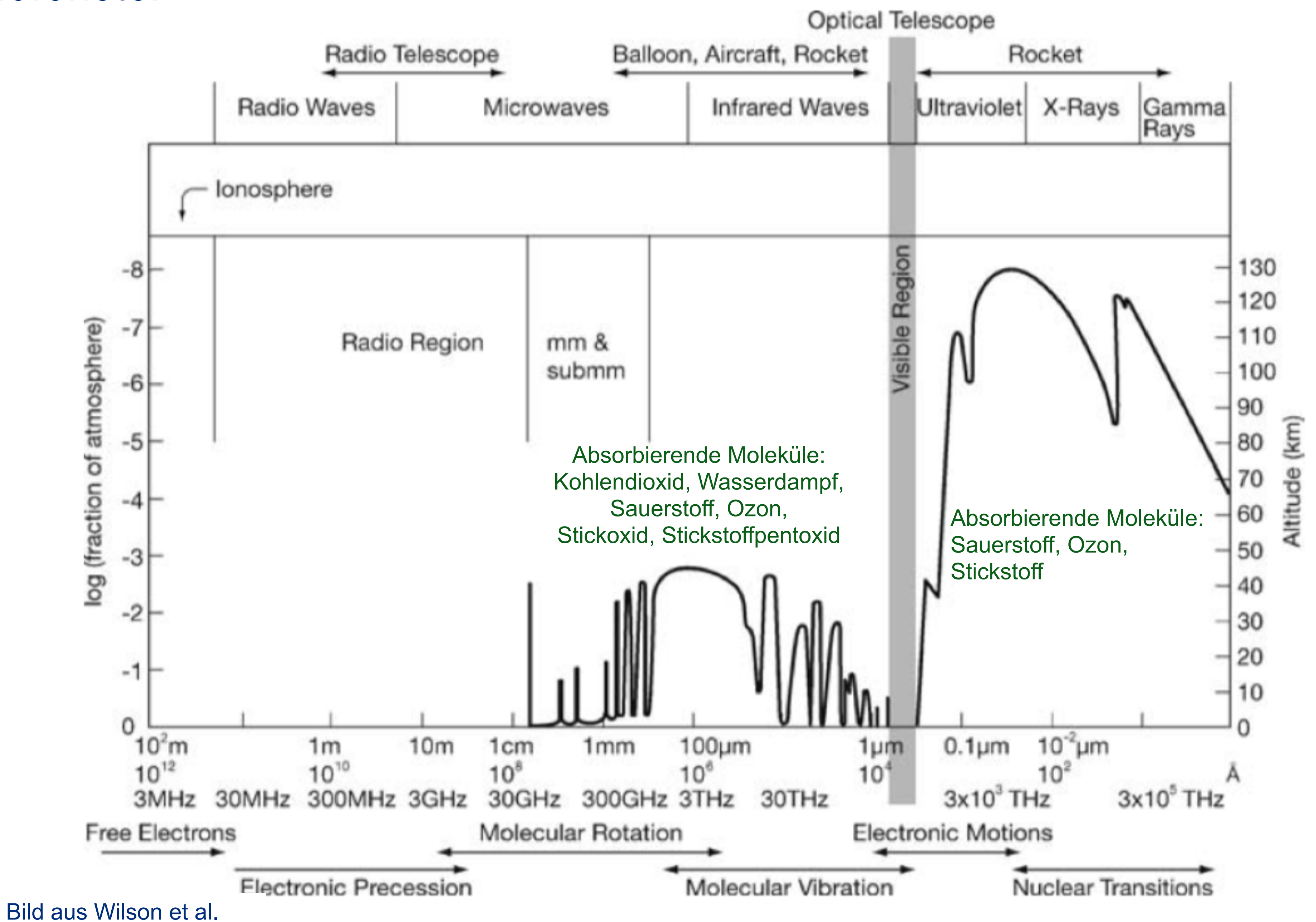
6







Das "Radiofenster"



Wellenlänge und Frequenz

$$\lambda = \frac{c}{\nu}$$

 λ : Wellenänge, c : Lichtgeschwindigkeit, ν : Frequenz

Beispiel: 21cm entspricht 1.4 GHz

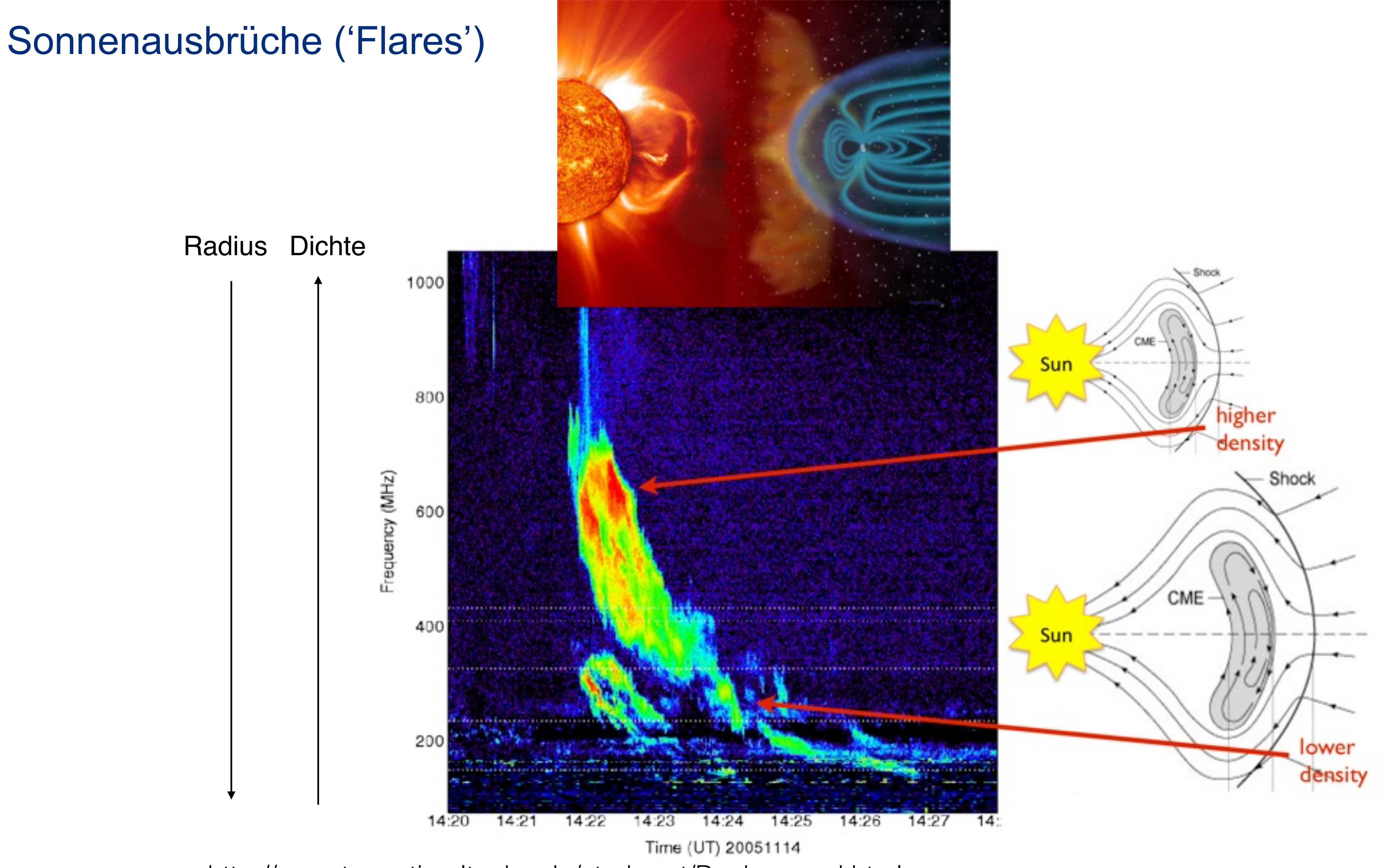
Plasmafrequenz

$$\frac{\nu_{\rm p}}{\rm kHz} = 8.97 \sqrt{\frac{N_{\rm e}}{\rm cm}^{-3}}$$

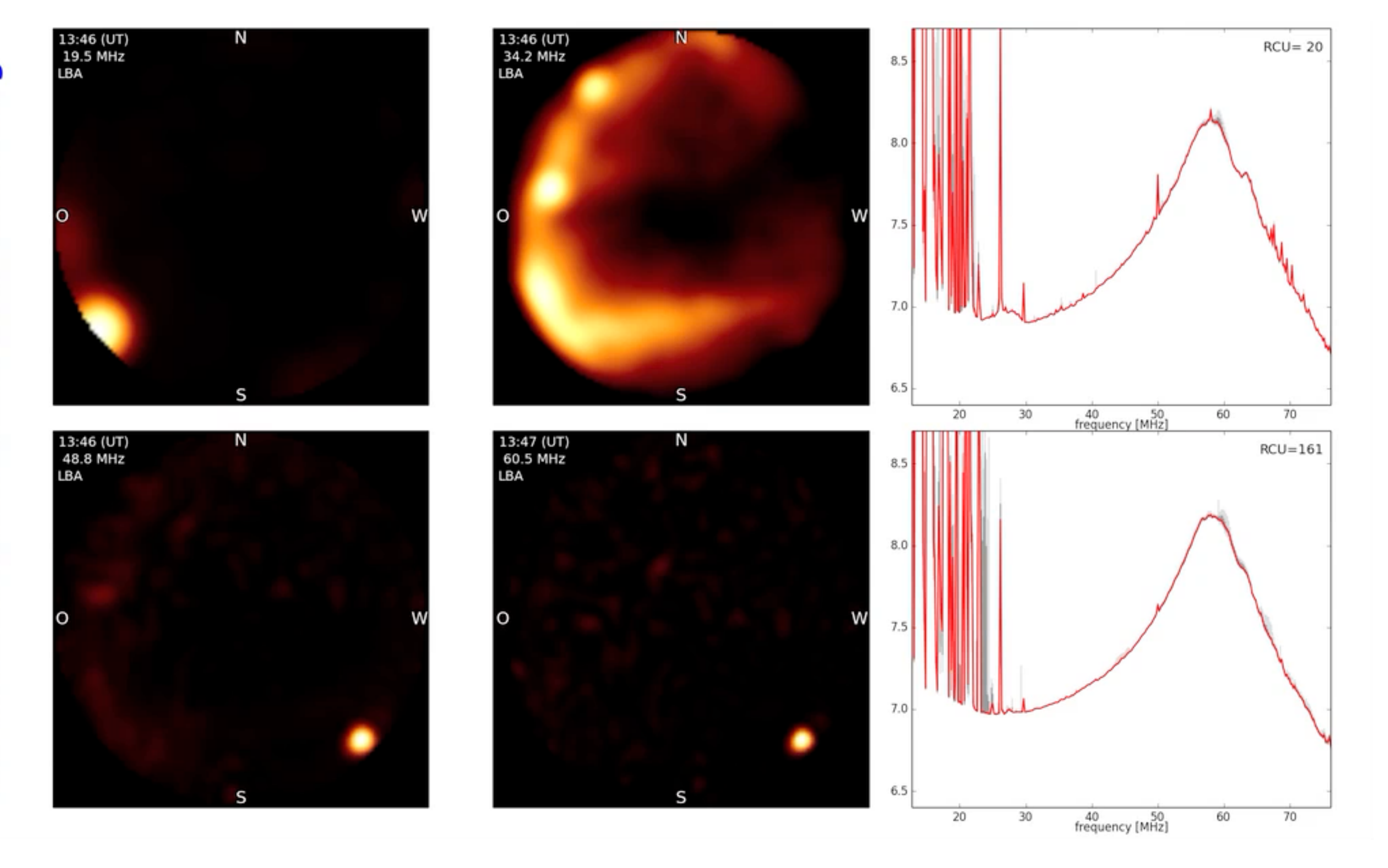
 $N_{
m e}$: Elektronendichte

Elektronendichte in der lonosphäre etwa: 1

$$10^5 - 10^6 \,\mathrm{cm}^{-3}$$



http://www.tauceti.caltech.edu/starburst/Background.html



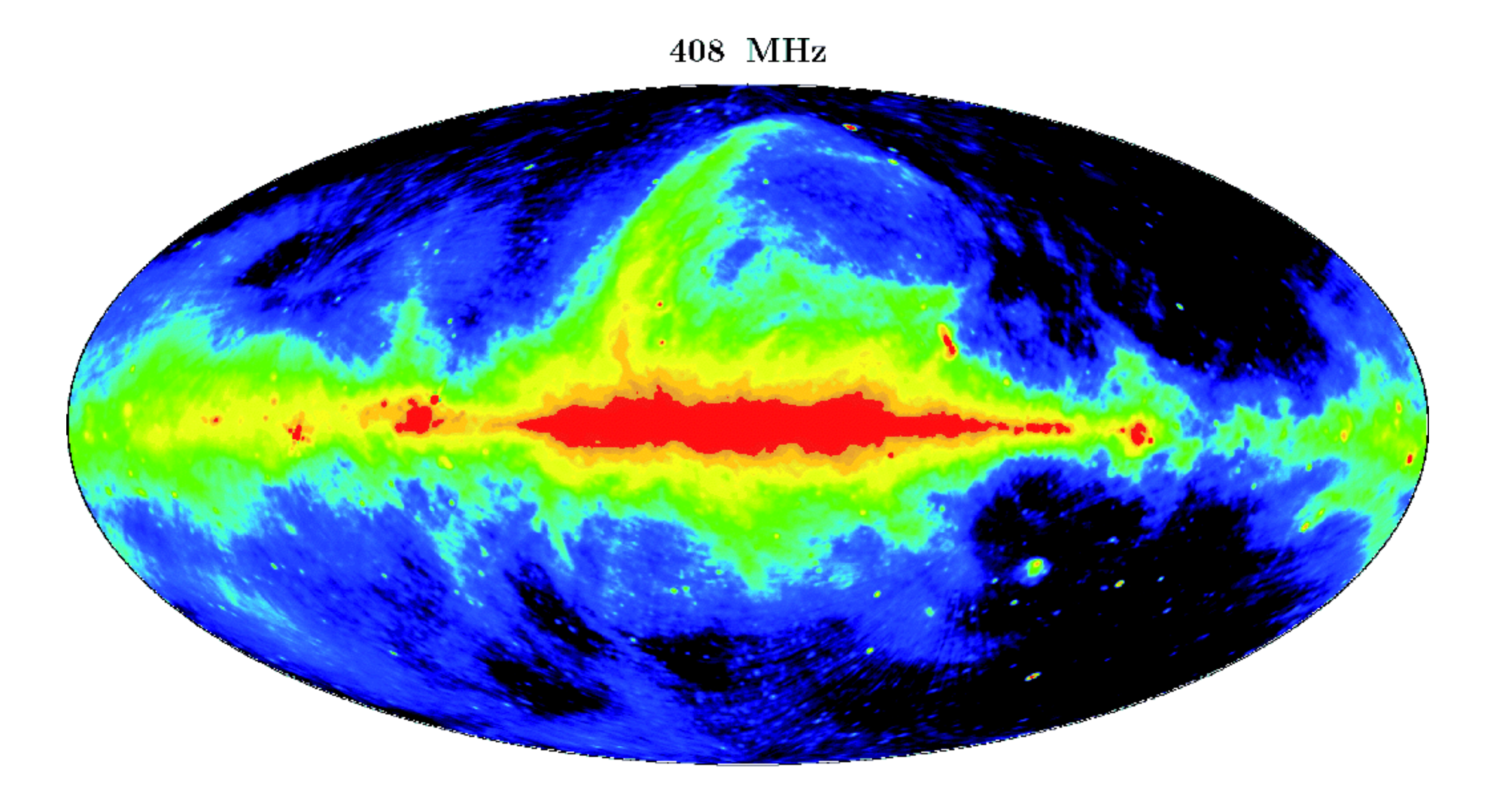
Kleinster auflösbarer Winkel eines Teleskops

$$\Delta \phi = 1.22 \frac{\lambda}{D}$$

geometrische Sammelfläche: Teleskopfläche

$$A = \pi D^2$$

Galaktische Emission



Jodrell-Bank 250-ft + Effelsberg 100-m + Parkes 64-m

Elektrische Feldstärke im Fernfeld

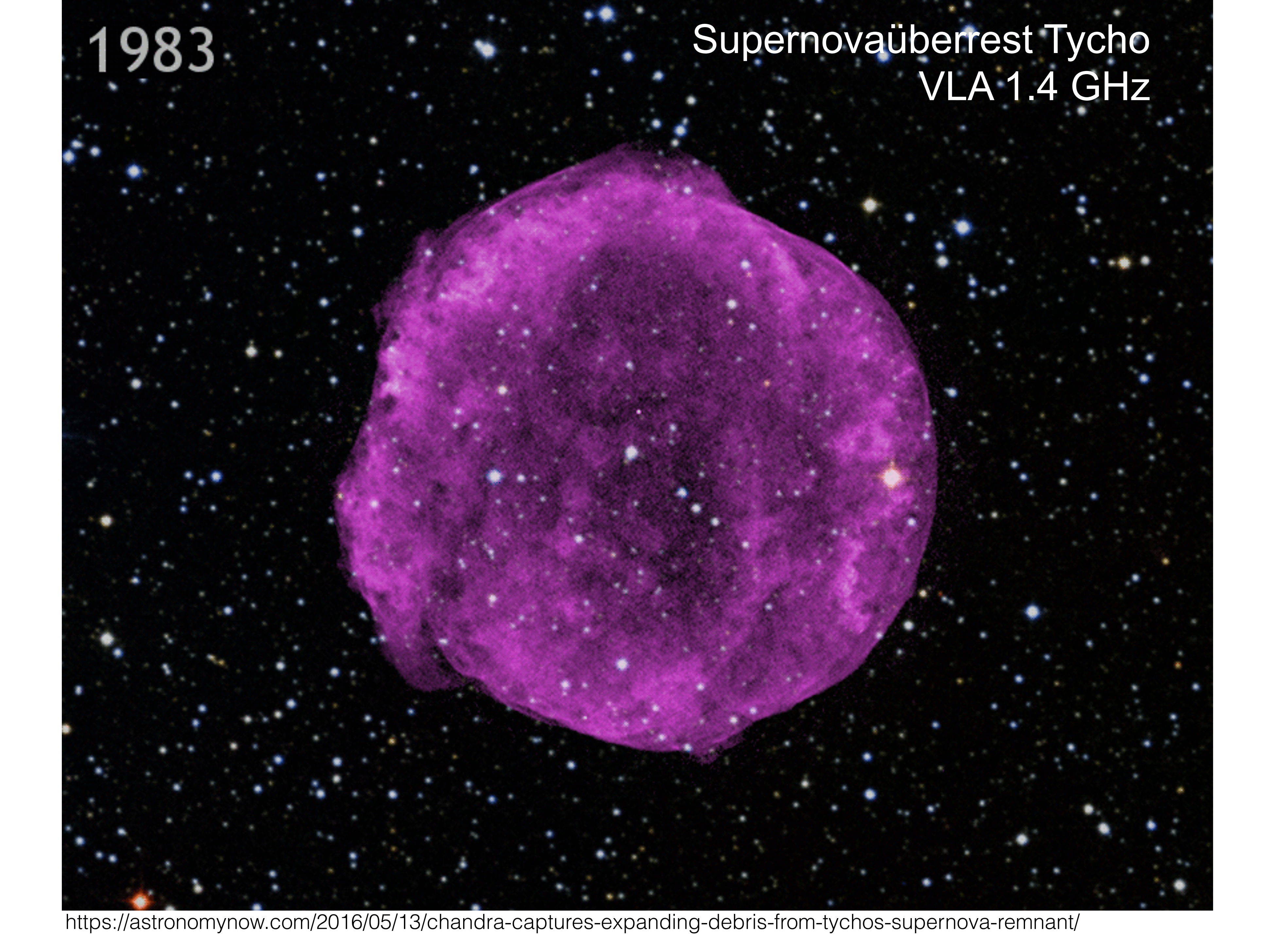
$$E \propto \ddot{x}$$

- Elektron erfährt i.d.R. stärkere Beschleunigung als Proton
- Ursachen der Beschleunigung:

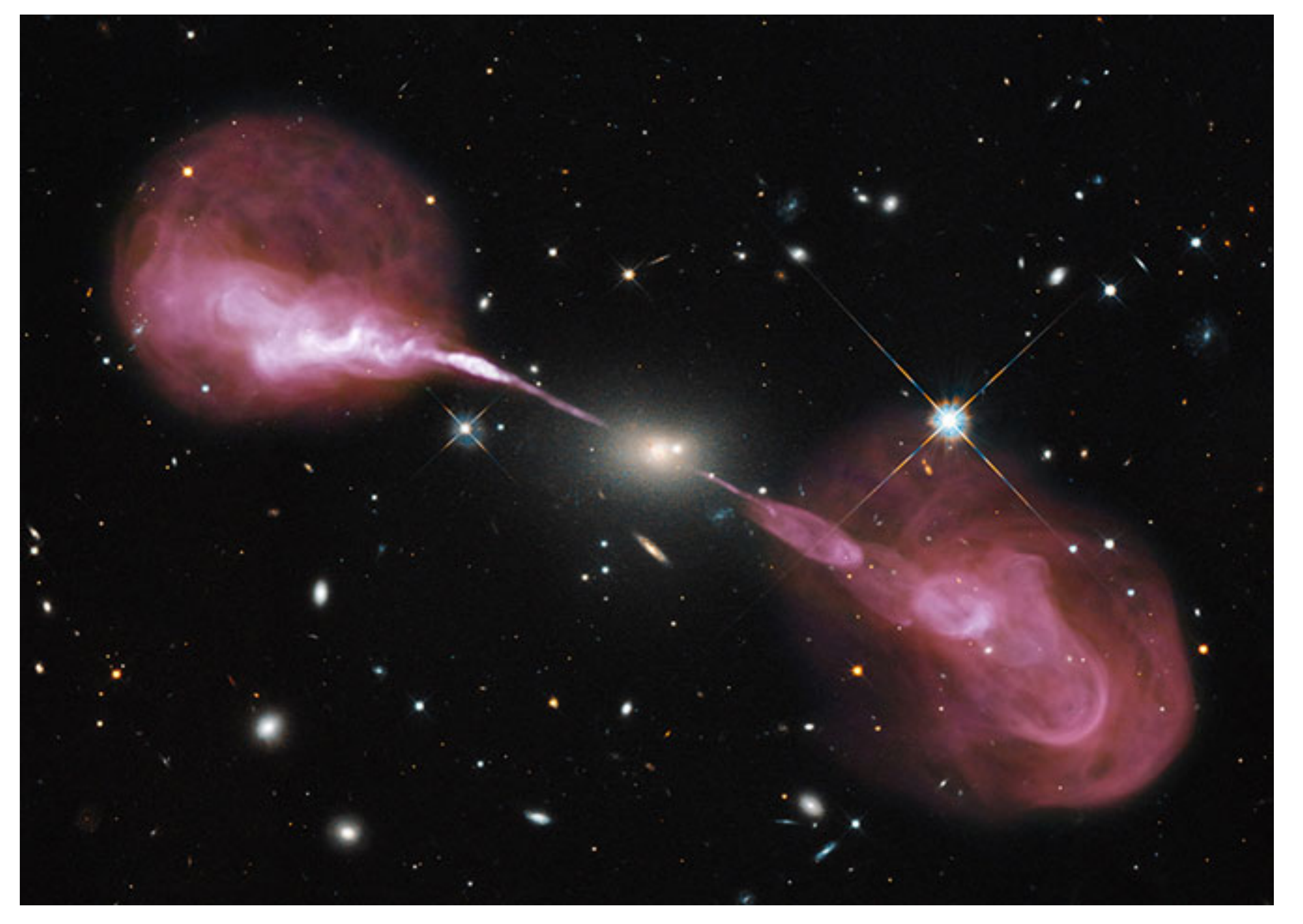
Coulomb: Bremsstrahlung

Magnetfelder: Gyro- / Synchrotron

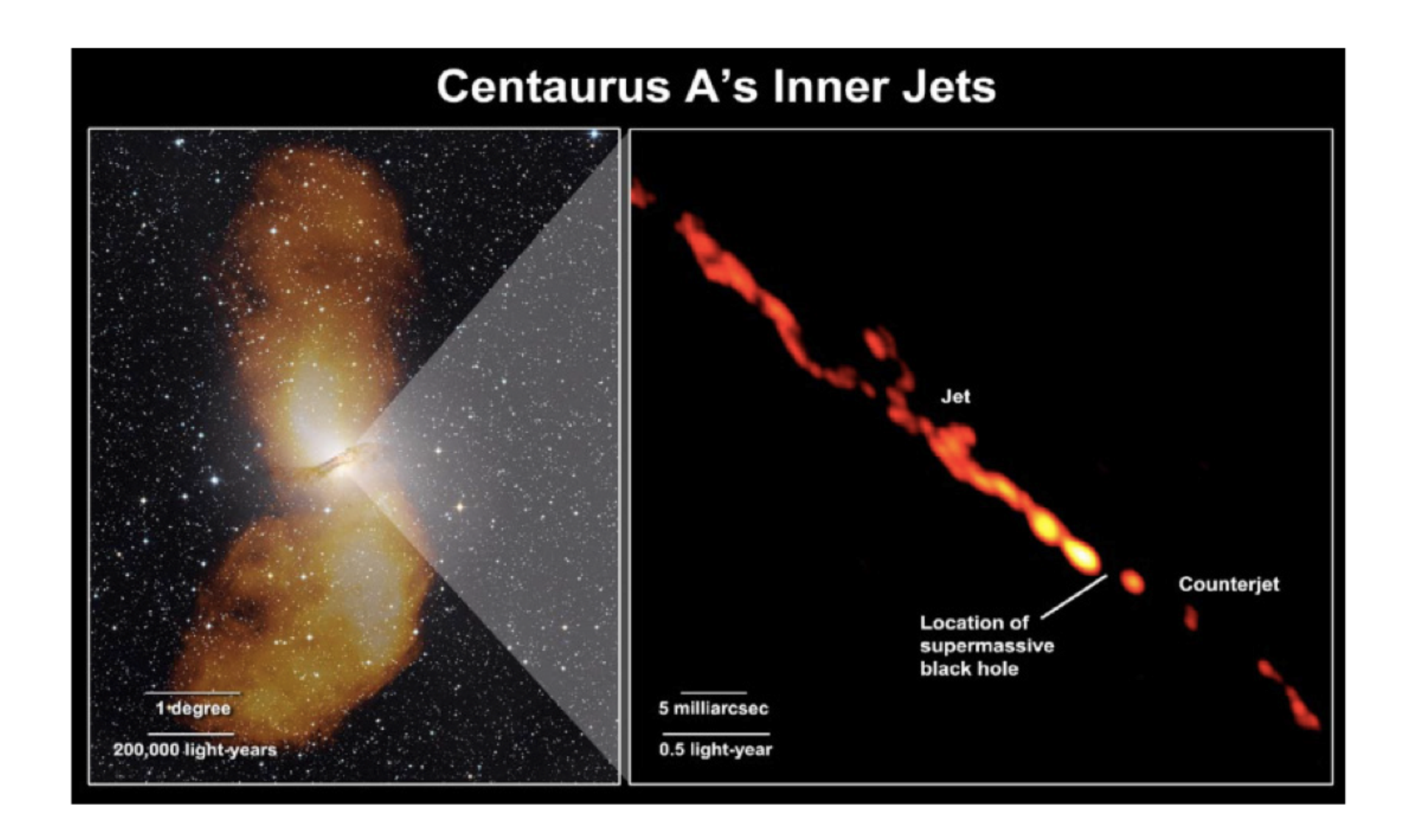
Kollektiv: Plasmastrahlung



Radiogalaxie Herkules A



NASA, ESA, S. Baum and C. O'Dea (RIT), R. Perley and W. Cotton



Hubbles Entfernungsgesetz

$$v_r = H_0 D$$

 v_r : Radialgeschwindigkeit

 $D: \mathsf{Entfernung}$

 H_0 : Hubblekonstante

$$H_0 \sim 70 \, {\rm km \, s^{-1} \, Mpc^{-1}}$$

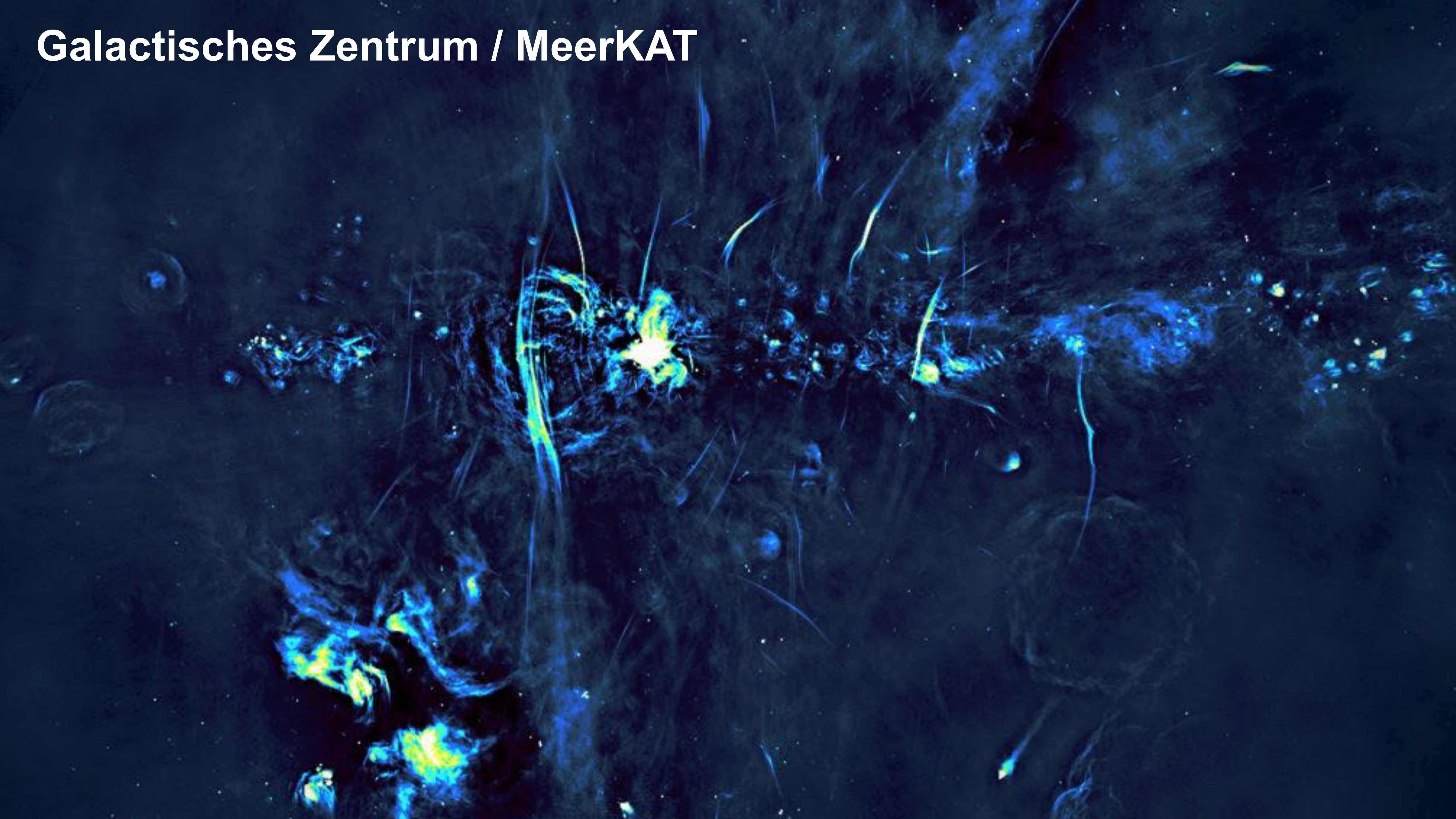
$$1 \text{ pc} = 3.086 \times 10^{18} \text{ cm}$$

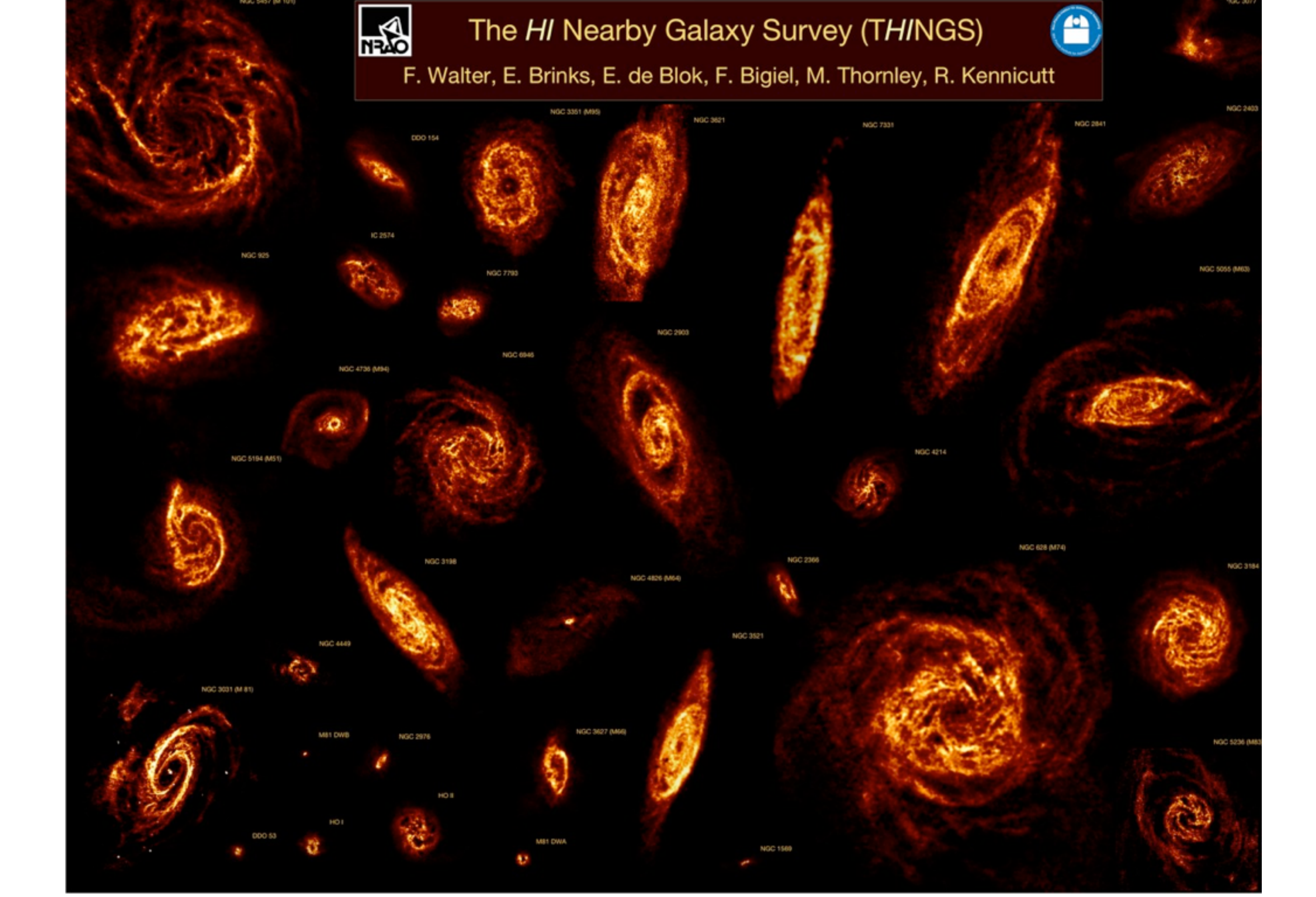
Rotverschiebung

$$z = \frac{\lambda_{
m rec}}{\lambda_{
m em}} - 1$$

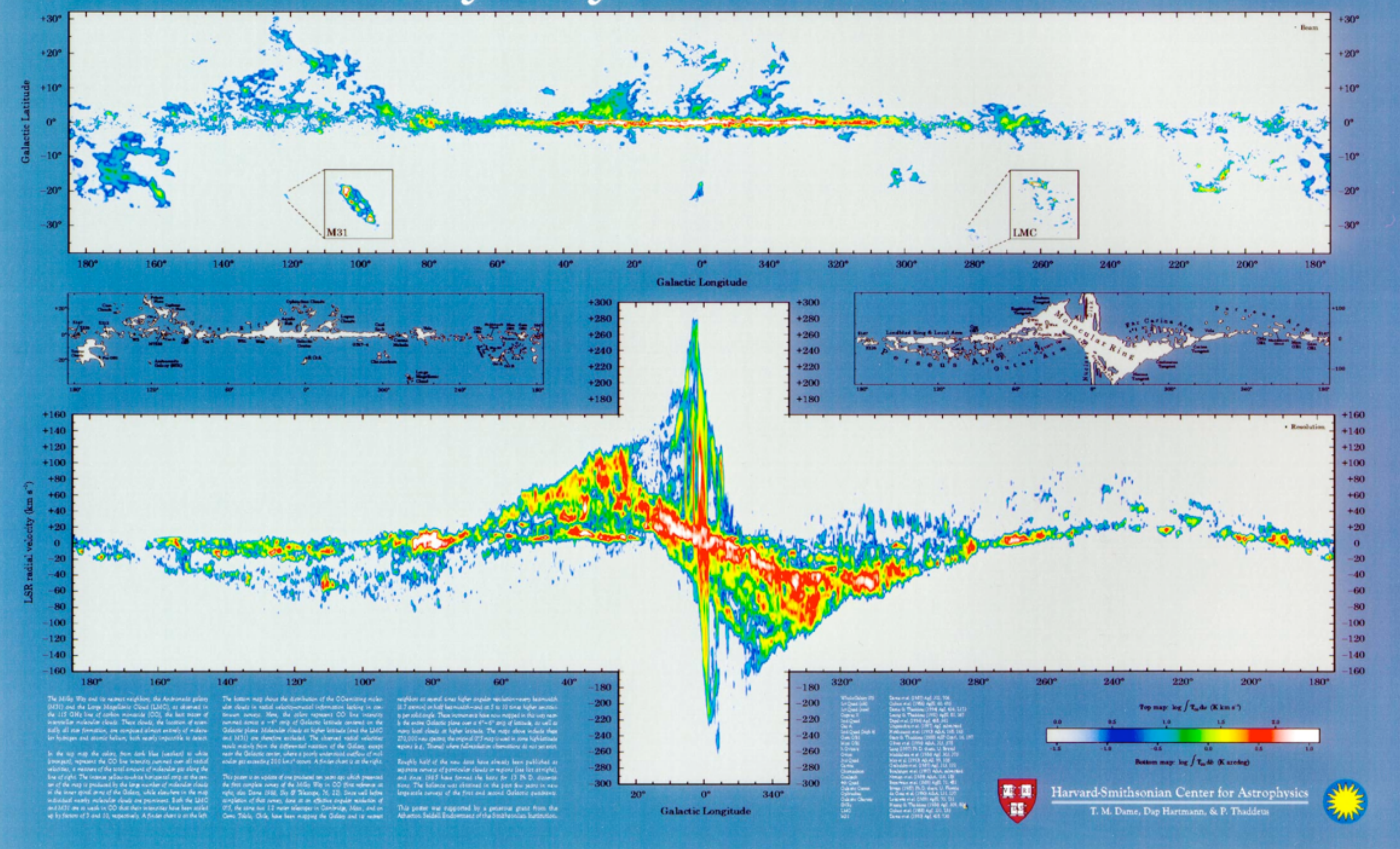
Doppler-Effekt

$$v_r = zc$$

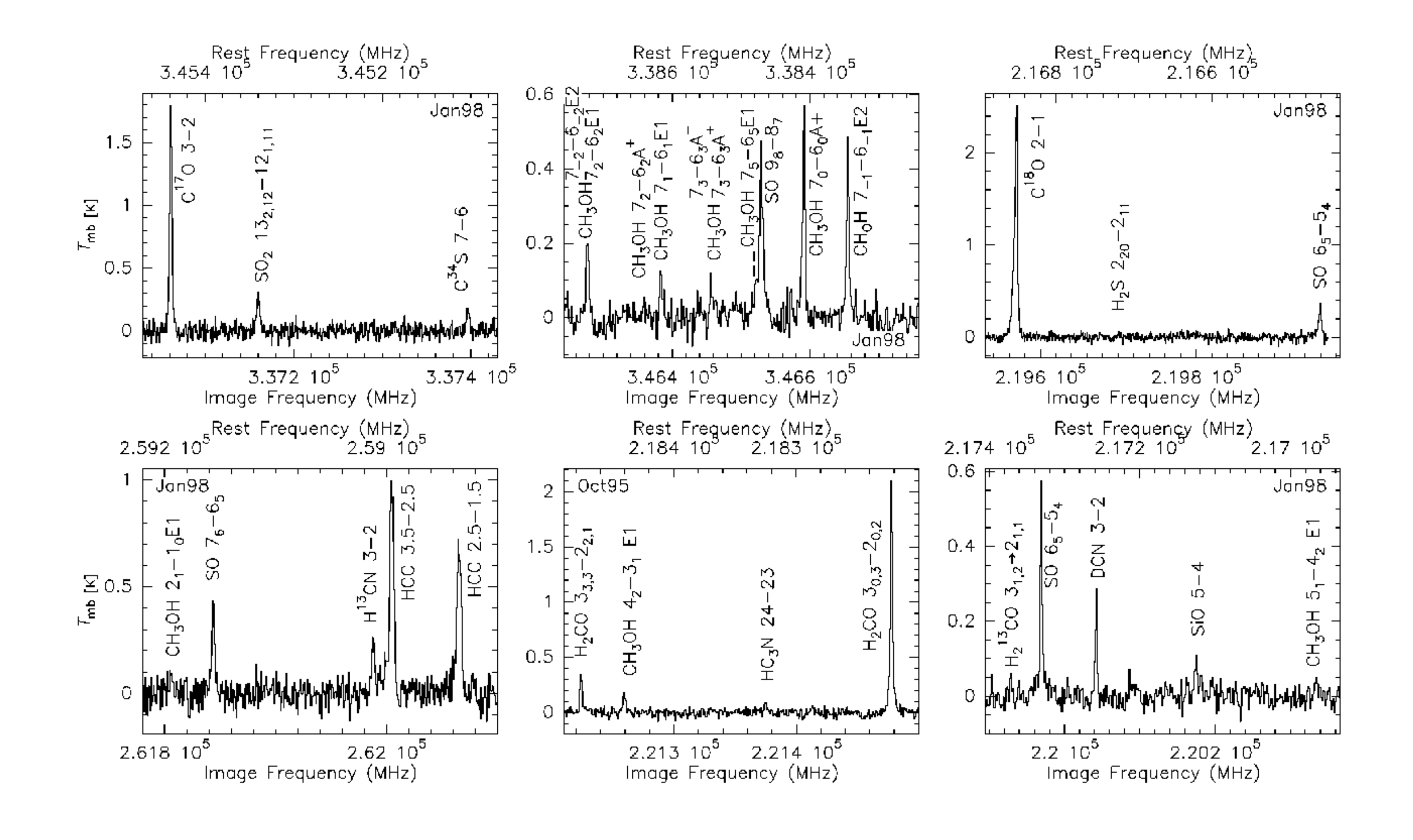




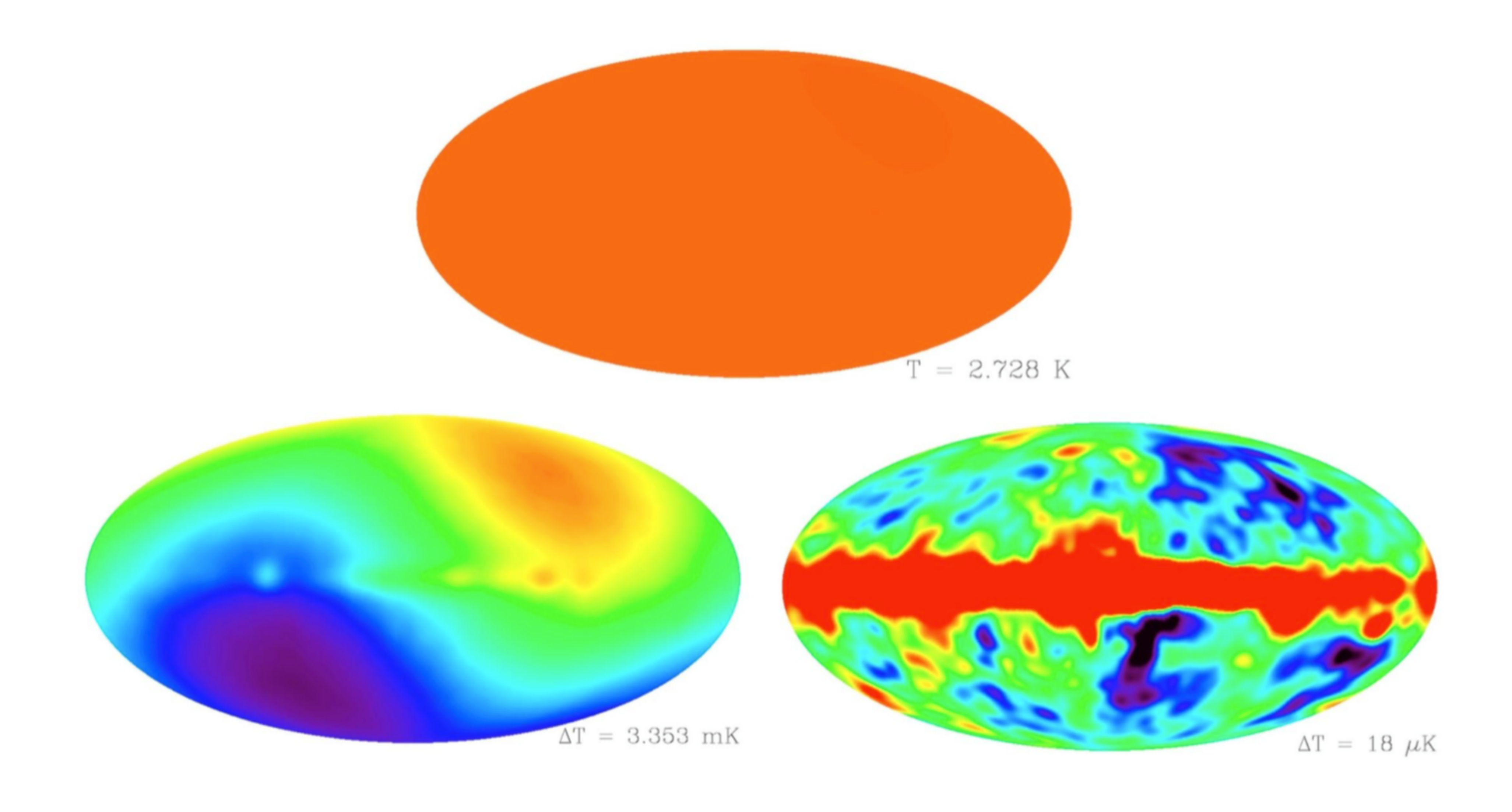
The Milky Way in Molecular Clouds



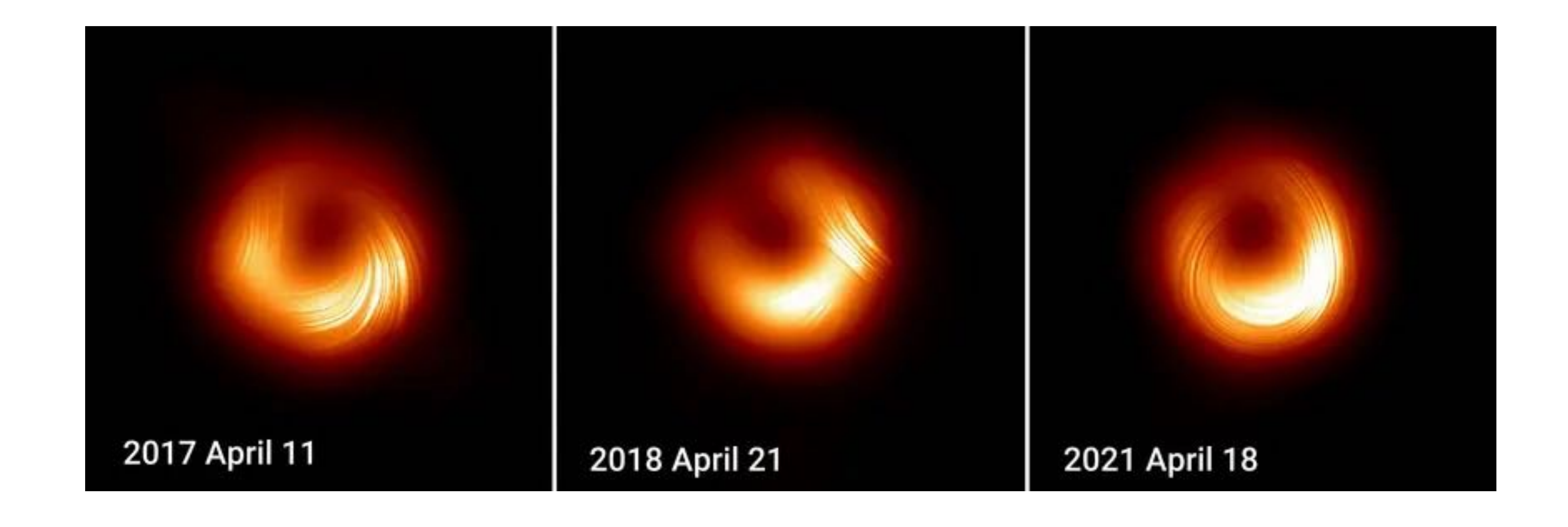
Linienspektren eines Molekülwolkenkerns NGC 2264 IRS1

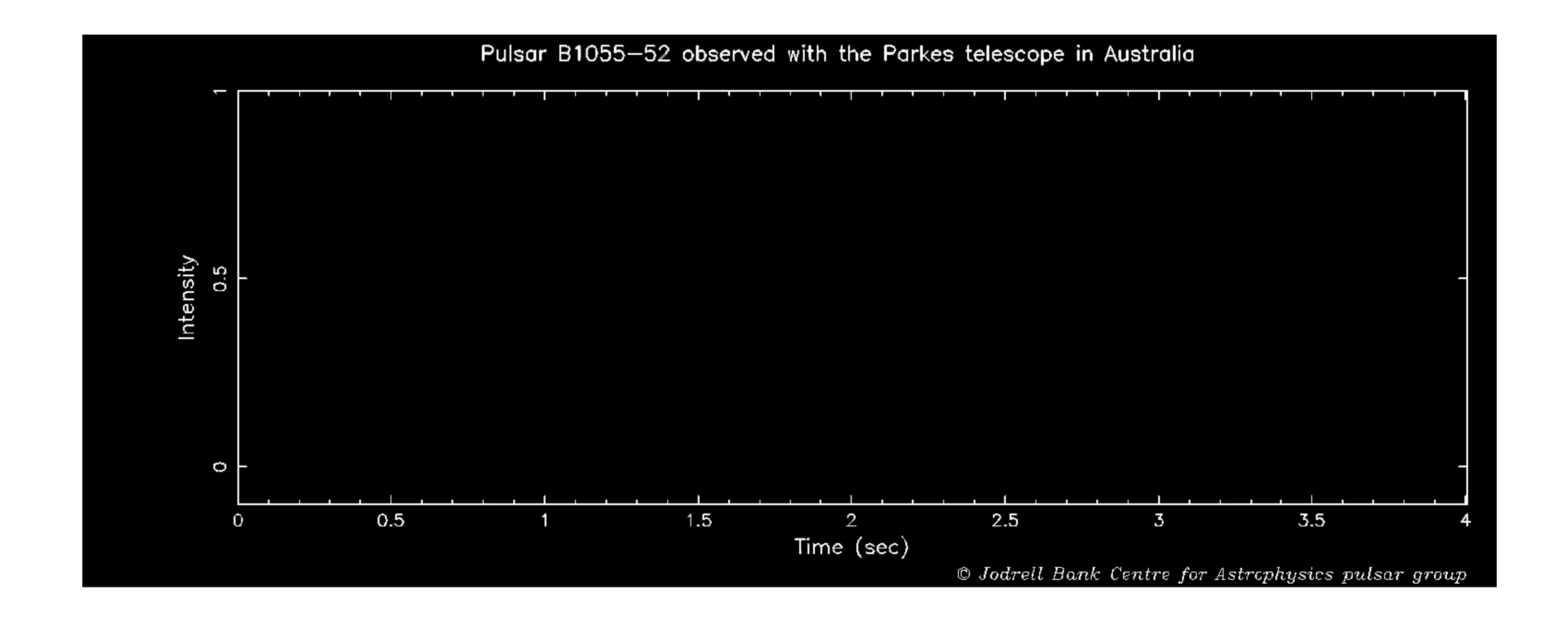


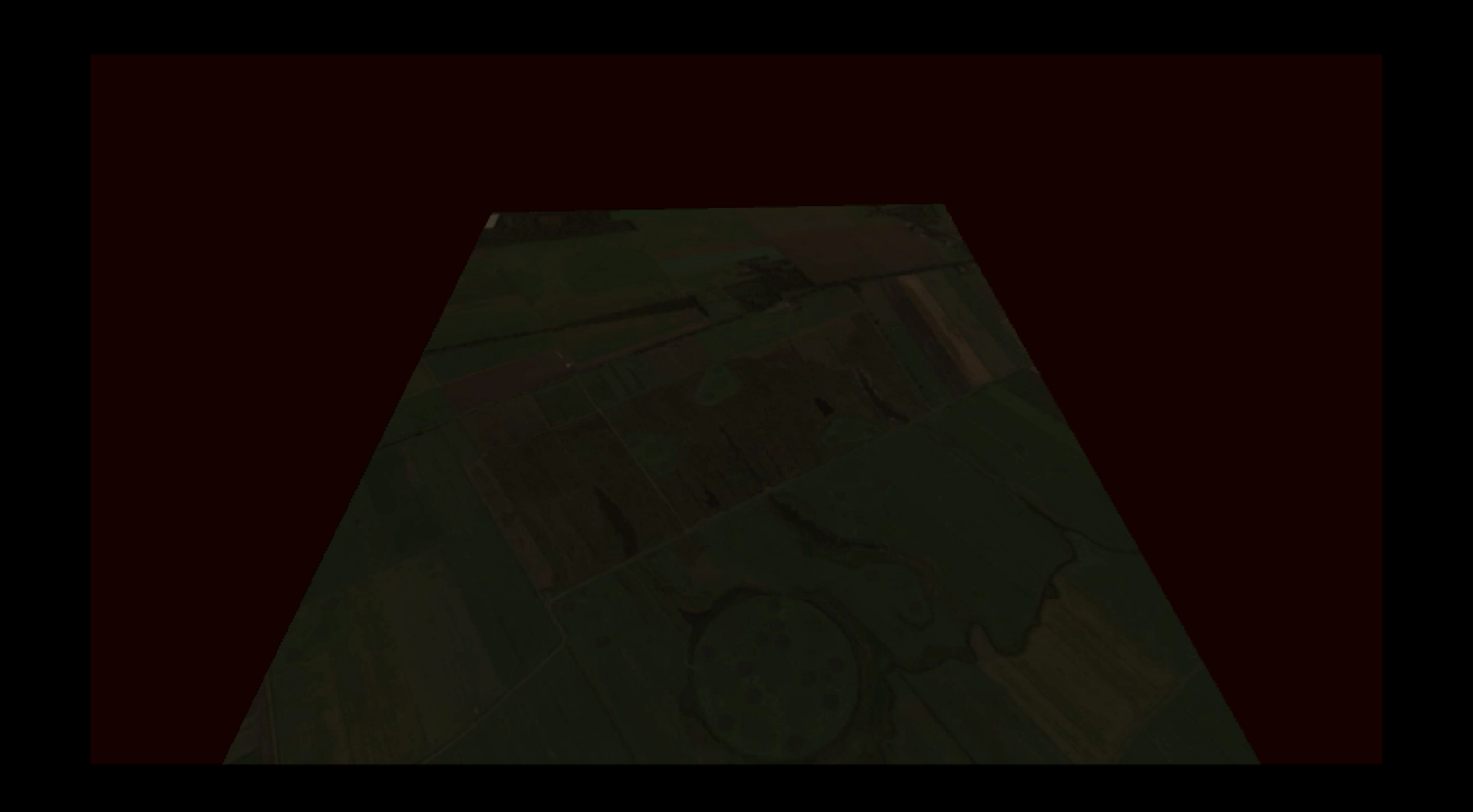
Kosmischer Mikrowellenhintergrund



Event Horizon Telescope

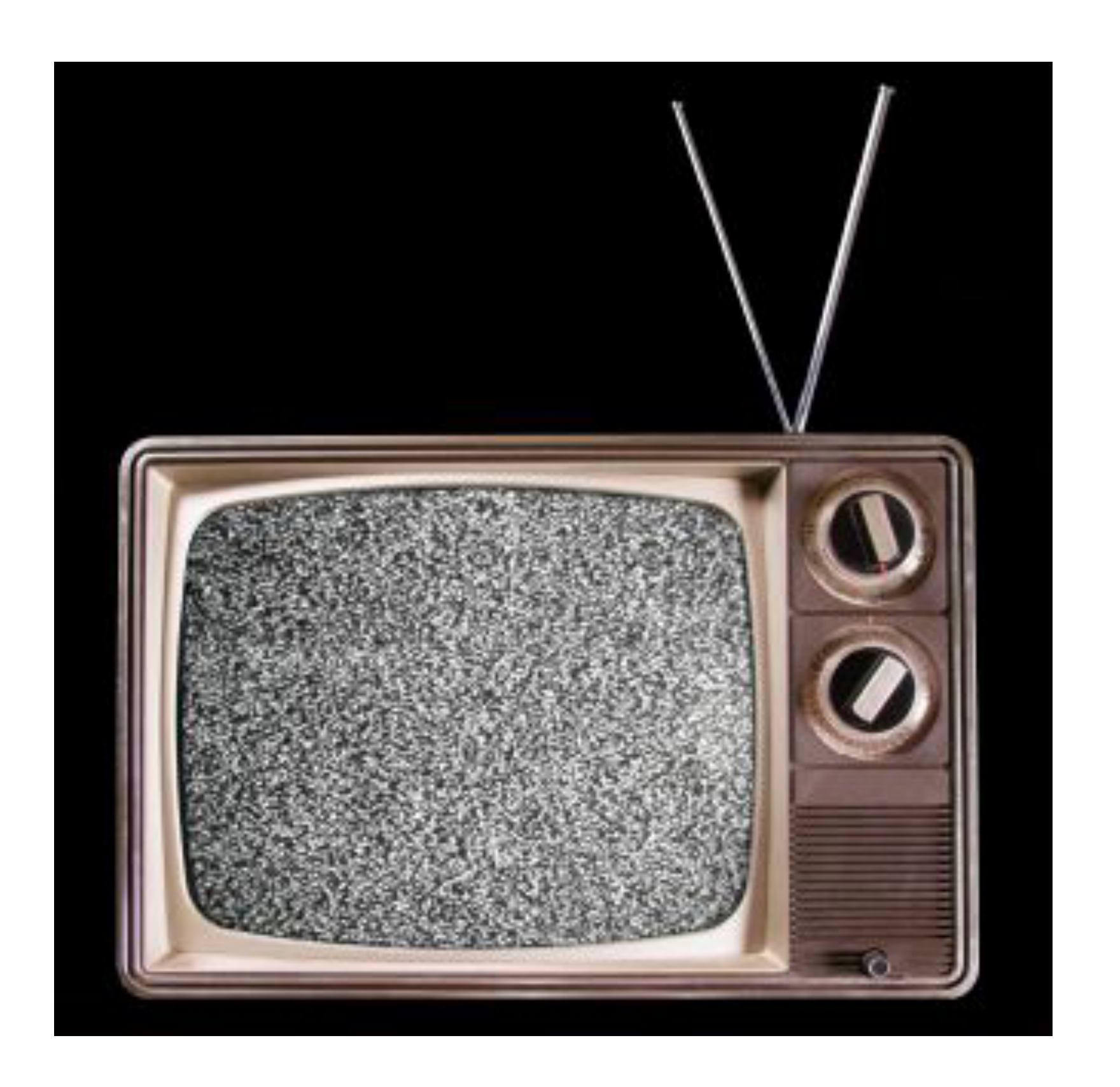






B. Hare, O. Scholten, et al. 2019, Nature

Ein Empfänger für kosmische Signale



kosmische Quellen: Emission ist nicht kohärent (i.d.R.) Detektoren registrieren 'Rauschen'





Grote Reber, Illinois, 1937

Durchmesser: 9m

3,3 GHz: keine Entdeckung 900 MHz: keine Entdeckung 160 MHz: erste Entdeckung!!













Definition "Intensität"

equivalent Flächenhelligkeit, engl. brightness, intensity, or specific intensity,

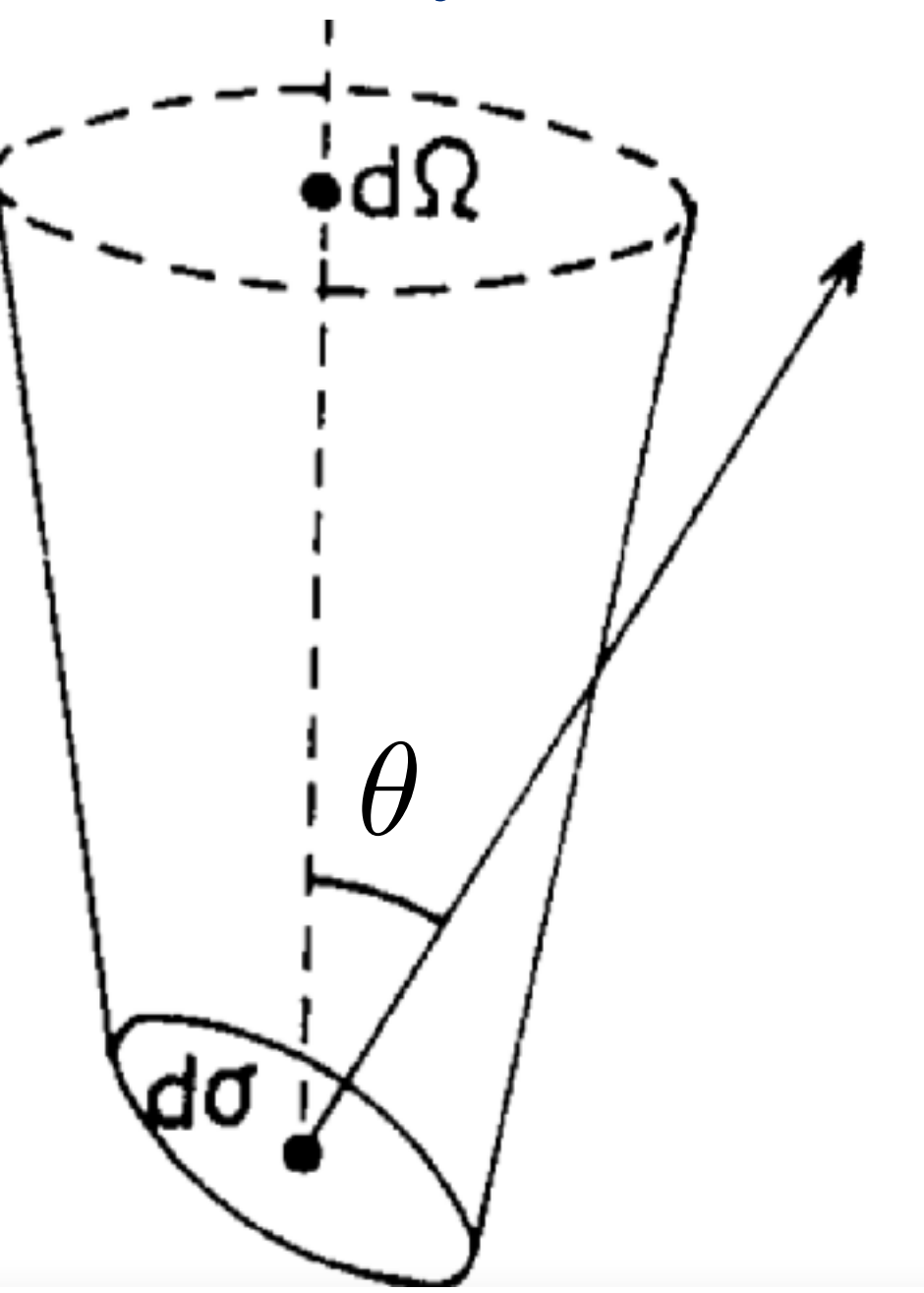
$$\frac{\mathrm{d}P_{\nu,\mathrm{rec}}}{\mathrm{d}\sigma\,\mathrm{d}\nu\,\mathrm{d}\Omega\,\cos\theta} =: I_{\nu}$$

 $\mathrm{d}P_{\nu,\mathrm{rec}}$: registrierte Leistung

 $\mathrm{d}\sigma$: infinitessimale Detektorfläche

 $\mathrm{d}
u$: infinitesimal Detektorbandbreite

 $\mathrm{d}\theta$: Winkel Flächennormale Beob.-Richtung



- 'Intensität' ist Eigenschaft auf Sphäre um Detektor Entfernung der Quelle spielt keine Rolle
 - z.B. Sonne hat eine Intensität von

$$1.8 \times 10^{-17} \,\mathrm{erg} \,\mathrm{s}^{-1} \,\mathrm{cm}^{-2} \,\mathrm{Hz}^{-1} \,\mathrm{sr}^{-1} \,\, @ \,100 \,\mathrm{MHz}$$

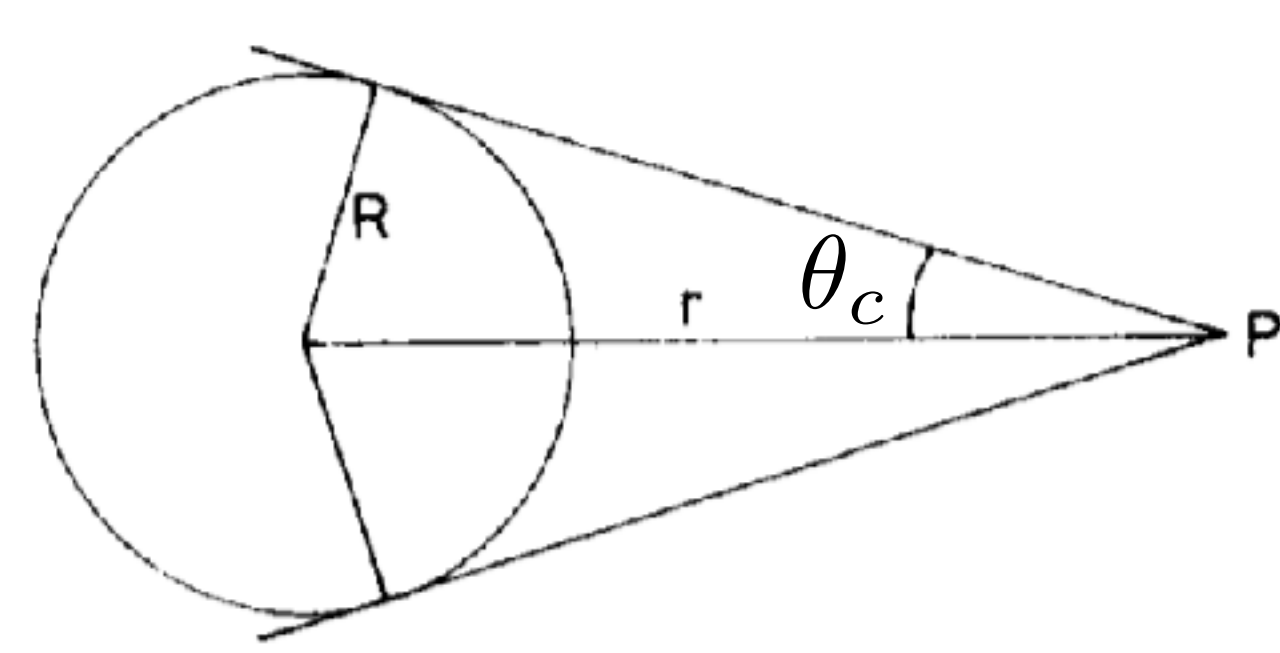
• Energiedichte $u_{
u}=rac{1}{c}I_{
u}$

Definition "Fluss"

auch Flussdichte, engl. flux, flux density

$$S_{\nu} = \int_{\Omega_s} d\Omega \, I_{\nu}(\theta, \phi) \cos \theta$$

 Beispiel Sonnenscheibe mit homogener Intensität



$$S_{\nu} = \int_{\Omega_s} d\Omega \, I_{\nu} \cos \theta = 2\pi I_{\nu} \int_0^{\theta_c} d\theta \sin \theta \, \cos \theta$$

$$\sin \theta_c = \frac{R}{r}$$

$$S_{\nu} = I_{\nu} \pi \sin^2 \theta_c = I_{\nu} \Delta \Omega$$

Entfernung zur Sonne: 150 mio km, Durchmesser Sonne: 1.4 mio km

$$\theta_{c, \text{Sonne}} = 0.0093$$

$$S_{100\text{MHz,Sonne}} = 5 \times 10^{-21} \text{ erg s}^{-1} \text{ cm}^{-2} \text{ Hz}^{-1}$$

Definition "Jansky"

$$1 \text{ Jy} = 10^{-23} \text{ erg s}^{-1} \text{ cm}^{-2} \text{ Hz}^{-1}$$

$$S_{100\mathrm{MHz,Sonne}} \sim 500\mathrm{\,Jy}$$

 Punktquelle in Entfernung r mit isotrop abgestrahlter Leistung verursacht den Fluss

$$S_{\nu} = \frac{P_{\nu}}{4\pi r^2}$$

$$S_{\nu}(\nu) = \frac{P_{\nu}(\nu\times(1+z))}{P_{\nu}(\nu)}\;\frac{1}{1+z}\;\frac{P_{\nu}(\nu)}{4\pi r^2} \qquad \text{(kosmologisch)}$$

Zusammenfassung

- Radiofenster: meter bis submm
- Ionosphäre verursacht 'Plasmakante'
- typische Strahlungsquellen: Synchrotron, neutraler Wasserstoff, Moleküllinien beschleunigte Ladung erzeugt E-Feld
- Auflösungsvermögen eines Teleskops
- geometrische Sammelfläche
- Rotverschiebung
- Hubbles Entfernungsgesetz, Hubblekonstante
- Intensität (Flächenhelligkeit, brightness, intensity)
- Fluss
- Maßeinheit für Fluss: Jansky